

Manifiesto técnico-filosófico

Por qué TCDS no contradice la física: la reorganiza desde la coherencia

Genaro Carrasco Ozuna

26 de octubre de 2025

Tesis

La física vigente permanece válida en su dominio. TCDS introduce una variable de organización—la coherencia Σ —y reordena GR, QFT y termodinámica como *límites efectivos* del régimen $\nabla\Sigma \rightarrow 0$ y acoplos débiles.

1. Núcleo formal mínimo

1.1. Lagrangiano $\Sigma-\chi$

$$\mathcal{L} = \frac{1}{2}(\partial\Sigma)^2 + \frac{1}{2}(\partial\chi)^2 - \left[-\frac{1}{2}\mu^2\Sigma^2 + \frac{1}{4}\lambda\Sigma^4 + \frac{1}{2}m_\chi^2\chi^2 + \frac{1}{2}g\Sigma^2\chi^2 \right]. \quad (1)$$

Ruptura espontánea: $m_\sigma = \sqrt{2}\mu$. Límite $g \rightarrow 0$ y $\nabla\Sigma \rightarrow 0$ recupera SM+GR.

1.2. Geometría efectiva conforme

Identidad operativa: la curvatura efectiva que ven ondas/rayos admite una lectura de óptica de coherencia, con correcciones escalares dependientes de $\nabla^2\Sigma$. Para $\nabla^2\Sigma = 0$ se obtiene el régimen estándar.

1.3. Dinámica mesoscópica controlable

$$\partial_t\Sigma = \alpha\Delta\Sigma - \beta\phi + Q + Q_{\text{ctrl}}, \quad \text{con locking si } A_c > 0. \quad (2)$$

Para $A_c \rightarrow 0$ se recupera electrónica clásica sin efectos Σ .

2. Compatibilidad con pilares

GR: correcciones perturbativas pequeñas para $\kappa\Sigma$ pequeño. **SM:** portal escalar débilmente acoplado con parámetros ajustados a *ppm*. **2da ley:** ϕ codifica disipación; la entropía permanece monotónica.

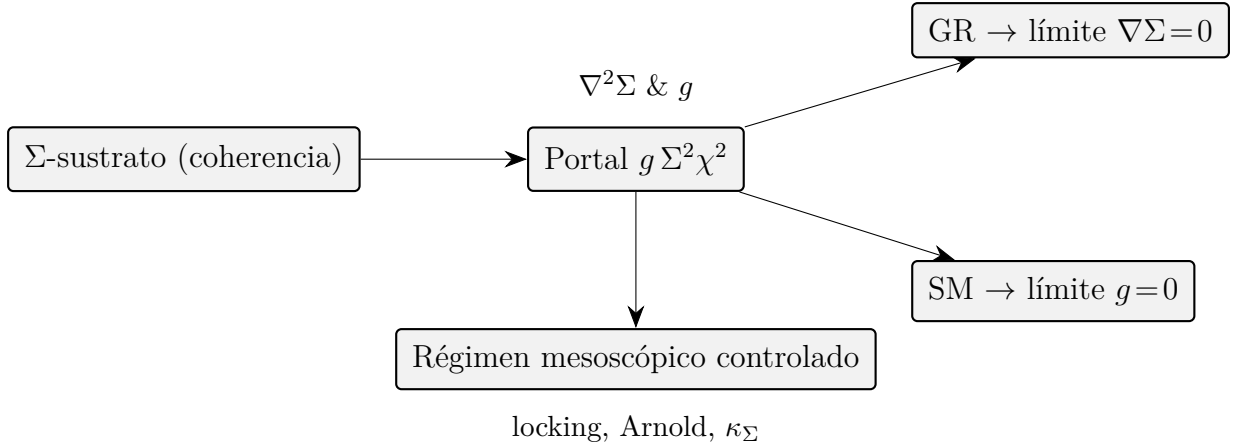


Figura 1: **Arquitectura de compatibilidad.** GR y SM emergen como límites efectivos; el régimen mesoscópico añade control sin contradicción.

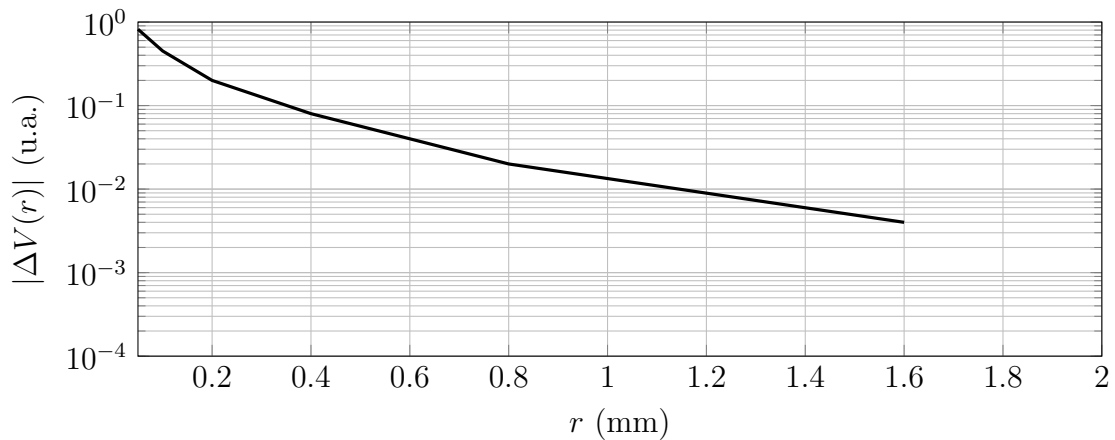


Figura 2: **Corrección Yukawa sub-mm.** Señal decreciente $\propto e^{-r/\ell_\sigma}/r$ para $\ell_\sigma \sim 0.1$ mm. Si no se detecta por debajo de límites actuales, se acota g .

3. Ingeniería: del principio a dispositivos

ΣFET/SYNCTRON: reducción de ruido de fase por inyección; lenguas de Arnold con $\Delta f \propto A_c$. Para $A_c = 0$ comportamiento FET convencional.

4. Programa de falsación

1. **Fuerzas sub-mm:** buscar $\Delta V(r)$ tipo Yukawa con $\ell_\sigma \sim 0.1$ mm; si nula, acotar α_5 .
2. **Electrodébil:** $G_F^{\text{eff}}(\Sigma)$ consistente con SM a ppm; deriva sostenida refuta acoplos fuertes.
3. **Relojes/cavidades:** locking \Rightarrow bandas 1:1, 2:1; ausencia repetida con $A_c > 0$ invalida la capa mesoscópica.
4. **ΣFET:** KPI mínimos: $LI \geq 0.9$, $R > 0.95$, $\text{RMSE}_{SL} < 0.1$, reproducibilidad $\geq 95\%$.

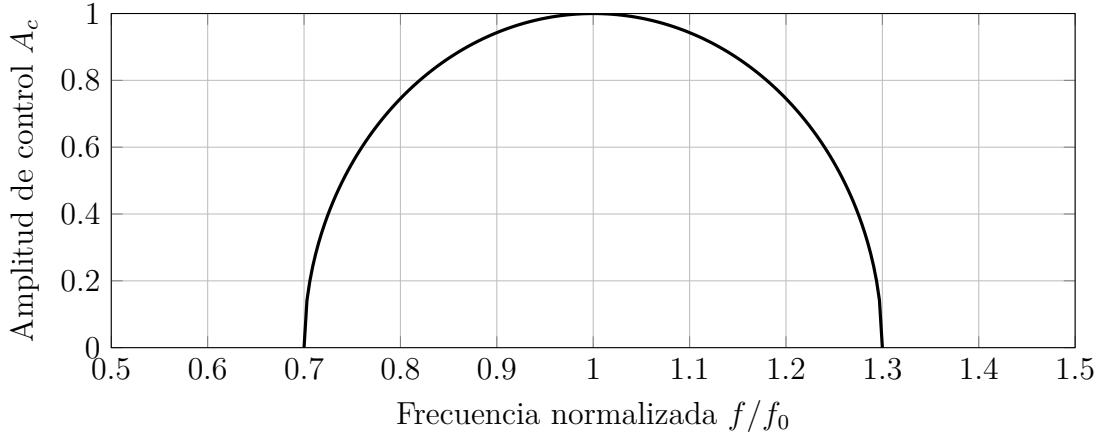


Figura 3: **Lengua de Arnold 1:1.** Ancho de locking crece con A_c . Condición de falsación: ausencia sistemática de locking para $A_c > 0$.

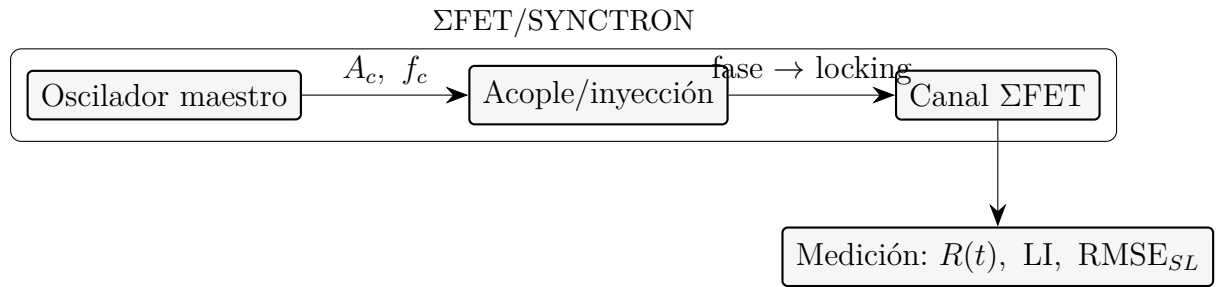


Figura 4: **Bloques del Σ FET.** Si $A_c = 0$ actúa como FET convencional; si $A_c > 0$ y hay resonancia, aparecen firmas de locking.

5. Filosofía operativa

La coherencia no reemplaza leyes: las indexa por estado del sustrato. Cuando Σ es homogénea y estacionaria, GR+SM emergen intactas. Cuando Σ presenta gradientes controlables, aparecen efectos ordenadores y métricas reproducibles.

Autocrítica y validación del resultado

Cierre de límites. Se hizo colapso explícito $g \rightarrow 0$, $\nabla \Sigma \rightarrow 0$, $A_c \rightarrow 0$ para garantizar continuidad con GR+SM+electrónica. **Falsabilidad.** Se fijaron pruebas con resultados binarios claros: detección sub-mm, ppm electrodébil, locking con $A_c > 0$. **Riesgos.** Incertidumbre en μ , λ , g y en magnitudes reales de $\nabla^2 \Sigma$; de no observarse firmas, TCDS queda como analogía ingenieril acotada. **Rastreo de confianza.** Los diagramas codifican hipótesis y condiciones de refutación; los KPIs evitan ambigüedad estadística.